

## روش برونویابی برای حل عددی یک مدل بیماری‌های عفونی بومی

بهمن بابایار رازلیقی؛ دانشگاه صنعتی قم، دانشکده علوم پایه، گروه ریاضی

دریافت ۹۷/۰۲/۲۱ پذیرش ۹۷/۰۶/۲۶

### چکیده

در این مقاله یک مدل بیماری عفونی را که به شکل دستگاه معادلات انتگرال ولترای نوع دوم غیرخطی است در نظر می‌گیریم. این مدل از نوع مدل *SIR* است. روش برونویابی بهسوی حد ریچاردسون را برای حل این سیستم طوری طراحی می‌کنیم که با یک فرایند تکرار، سیستم غیرخطی با درجه دقت خوب قابل حل باشد. الگوریتم حل چنین سیستم‌هایی به‌طور کامل تشریح می‌شود. این الگوریتم دارای نوعی ساختار تو در تو است که باعث می‌شود از اطلاعات پیشین در زمان‌های بعدی بتوان استفاده کرد و همین امر برنامه‌نویسی این الگوریتم را جالب کرده است. این الگوریتم با هر زبان سطح بالا قابل برنامه‌نویسی است، که ما این فرآیند را با زبان برنامه‌نویسی *Mathematica* انجام داده‌ایم. تحلیل خطأ هم از دیدگاه تئوری آنالیز عددی و هم با استفاده از چند مثال نمونه به‌طور شفاف نشان داده شده است، برای این منظور طیفی از نمونه مسائلی را با استفاده از تبدیلات لاپلاس طراحی کردیم که جواب تحلیلی داشته باشند.

**واژه‌های کلیدی:** روش برونویابی، بیماری‌های عفونی، کلاس مستعد، کلاس عفونت‌زا، کلاس مصون، دستگاه انتگرالی ولترای غیر خطی.

### مقدمه

بسیاری از بیماری‌های عفونی در یک جمعیت بومی هستند، یعنی برای چندین سال موجودیت خود را حفظ می‌کنند. فرض کنید اندازه جمعیت ثابت است و جمعیت یکنواخت و به‌طور همگن توزیع شده است. جمعیت بررسی شده به چندین کلاس تقسیم‌بندی می‌شود، که با زمان تغییر می‌کند و این کلاس‌ها عبارتند از: کلاس  $S(t)$  شامل آن‌هایی که آلودگی در آن‌ها می‌تواند شروع شود، کلاس  $I(t)$  آن‌هایی هستند که آلوده شده‌اند و کلاس  $R(t)$  آن‌هایی هستند که مخصوصیت دائمی یافته‌اند. این مدل، مدل *SIR* نامیده می‌شود و به‌وسیله دستگاه معادلات انتگرالی ولترای نوع دوم غیرخطی زیر قابل نمایش است [۱].

$$\begin{cases} I(t) = I_0(t)e^{-\mu t} + \int_0^t \beta S(\tau)I(\tau)P(t-\tau)e^{-\mu(t-\tau)}d\tau, \\ R(t) = [R_0 + I_0(0) - I_0(t) - \varphi]e^{-\mu t} + \varphi + \int_0^t S(\tau) [\beta I(\tau)(1 - P(t-\tau)) + \theta] e^{-\mu(t-\tau)}d\tau, \\ S(t) + I(t) + R(t) = 1, \quad t > 0. \end{cases} \quad (1)$$

در اینجا  $S, I, R$  توابع مجھول هستند. عدد ثابت نرخ تماس  $\beta$  میانگین تماس‌های یک آلوده کننده در واحد زمان است. بنابراین افراد در معرض آلودگی با نرخی برابر  $\beta S$  به لیست افراد آلوده اضافه می‌شوند.  $(P(t))$  احتمال پا

برجا بودن شیوع بیماری،  $t$  واحد زمان پس از شروع شیوع بیماری است. به علاوه  $P(t)$  یک تابع ناصعدی با  $P(0) = 1$  و  $P(\infty) = 0$  است که تحت تسلط یک تابع نمایی میرا است. این شرایط  $P(t)$ ‌های متفاوتی را به دست می‌دهد مثلاً دوره‌های شیوع ثابت (یک تابع ناصعدی تکه تکه پیوسته و ثابت در هر بازه پیوستگی)، دوره‌های شیوع نمایی، همچنین دوره‌های شیوع با توزیع‌های گاما (به عنوان مثال توزیع‌های گاما از فصل ۶ [۲] را ملاحظه کنید). نسبت اولیه مصنون از آلدگی، به صورت  $R_0 \geq 0$  بوده است و  $I_0(t)e^{-R_0 t}$  کسری از جامعه هستند که از اول عفونی بوده است و هنوز هم در لحظه  $t$  از شیوع بیماری زنده‌اند.  $I_0(t)$  یک تابع ناصعدی معلوم با  $I_0(0) > 0$  و  $I_0(t) \leq I_0(0)P(t)$  است و از این رو،  $I_0(t)$  به سمت صفر می‌کند وقتی که  $t \rightarrow \infty$ . ایمن‌سازی فعال در مدل بدین معنی است که واکسن یا توکسونید (شبه سم) وارد مدل شده است و کسر  $\varphi$  از نوزادان ایمن شده‌اند، بنابراین میزان شارش (فلوی) نوزادان ایمن شده به کلاس مصنون یافته، برابر  $\varphi\mu$  است. ایمن‌سازی کلاس در معرض آلدگی، با نرخ  $\theta S(t)$  انجام می‌گیرد. این ایمن‌سازی با یک ایمن‌سازی عمومی برای افراد در معرض آلدگی، با هر سنی مطابقت دارد.

مدل‌سازی، وجود، یکتایی، و تحلیل پایداری دستگاه معادلات ولترای (۱) به وسیله برخی از نویسنده‌گان بررسی شده است [۱]، [۳]، [۴]. در این مقاله الگوریتمی ارائه می‌شود که ابتدا جواب سیستم غیرخطی (۱) به وسیله روش ذوزنقه‌ای مرکب برآورد اولیه شده، سپس این برآورد خام به وسیله برونویابی رامبرگ دقیق‌تر می‌شود. این فرایند طوری طراحی شده است که سیستم کوپل شده (۱) را تحت تسلط خود قرار دهد.

روش‌های زیادی برای حل سیستم‌های ولترا ارائه شده است، که بسته به خطی و غیرخطی بودن و همچنین تکین یا غیرتکین بودن معادلات متفاوت است. به عنوان مثال روش انتگرال‌گیری ضربی [۵]-[۹]، روش موجک‌ها [۱۰]، [۱۱]، روش‌های هم محلی [۱۲]، [۱۳]، [۱۴] و... با توجه به ساختار مسئله متفاوتند. با توجه به ساختار غیرخطی و غیرتکین معادلات (۱)، خواهیم دید روش ارائه شده در این مقاله، یک روش کاملاً مناسب در این گونه مسائل است.

## روش برونویابی برای حل دستگاه معادلات ولترای غیر خطی

در این بخش روش برونویابی برای حل دستگاه غیرخطی زیر تشریح می‌شود:

$$X(t) - \int_0^t K(t, \tau, X(\tau)) d\tau = r(t), \quad t > 0, \quad (2)$$

که در آن  $X(t) = (x_1(t), \dots, x_d(t))^T$  تابع برداری مجهول،  $K$  هسته پیوسته به صورت:

$$K(t, \tau, X(\tau)) = (k_1(t, \tau, X(\tau)), \dots, k_d(t, \tau, X(\tau)))^T$$

و  $r$  تابع برداری مقدار معلوم سمت راست به صورت  $r(t) = (r_1(t), \dots, r_d(t))^T$  است. به ازای  $n_0 \in \mathbb{N}$ ، معادله (۲) را در بازه  $t \in [0, n_0]$  حل می‌کنیم. برای این منظور هر بازه جزء  $[k-1, k]$  را به  $N$  زیربازه مساوی با طول گام  $h = \frac{1}{N}$  تقسیم می‌کنیم. فرض می‌کنیم به ازای  $\{0, 1, 2, 3, \dots\} \subset I_0 = \{0, 1, 2, 3, \dots\}$  مسئله در  $t \in [0, n]$  حل شده است و می‌خواهیم مسئله را در  $t \in [n, n+1]$  حل کنیم. برای این منظور معادله (۲) را در نقاط  $t_{n,i} = n + ih, i = 1, \dots, N$  می‌نویسیم: (۳)

$$X(t_{n,i}) - \int_0^{t_{n,i}} K(t_{n,i}, \tau, X(\tau)) d\tau = r(t_{n,i}), \quad (3)$$

و یا

$$X(t_{n,i}) - \int_{t_n}^{t_{n,i}} K(t_{n,i}, \tau, X(\tau)) d\tau = r(t_{n,i}) + F_n(t_{n,i}). \quad (4)$$

که در آن  $t_n = t_{n-1,N} = n$

$$F_n(t_{n,i}) = \int_0^{t_n} K(t_{n,i}, \tau, X(\tau)) d\tau, \quad (5)$$

جمله پیشین نامیده می‌شود.  $\mathbf{F}_0 \equiv \mathbf{0}$  و به ازای  $n \in \mathbb{N}$  با استفاده از قاعده انتگرال گیری ذوزنقه‌ای مرکب داریم

$$\begin{aligned} F_n(t_{n,i}) &\approx \frac{h}{2} (K(t_{n,i}, 0, r(0)) + K(t_{n,i}, t_n, X_{n-1,N})) + \\ &h \sum_{l=0}^{n-2} \sum_{j=1}^N K(t_{n,i}, t_{l,j}, X_{l,j}) + h \sum_{j=1}^{N-1} K(t_{n,i}, t_{n-1,j}, X_{n-1,j}) =: \tilde{F}_n(t_{n,i}). \end{aligned} \quad (6)$$

در رابطه مذکور به ازای  $\mathbf{n} = \mathbf{1}$  سیگماهای مضاعف برابر صفر است. انتگرال سمت چپ معادله (6) به صورت رابطه (7) تقریب می‌شود.

$$\begin{aligned} \int_{t_n}^{t_{n,i}} K(t_{n,i}, \tau, X(\tau)) d\tau &\approx \frac{h}{2} (K(t_{n,i}, t_n, X_{n-1,N}) + K(t_{n,i}, t_{n,i}, X_{n,i})) \\ &+ h \sum_{j=1}^{i-1} K(t_{n,i}, t_{n,j}, X_{n,j}), \end{aligned} \quad (7)$$

که در آن  $i = 1, \dots, N$  و به ازای  $\mathbf{i} = \mathbf{1}$  سیگماهای سمت راست برابر صفر است. با جایگذاری تقریب‌های (7) و (6) در معادله (4)، دستگاه معادلات (8) را به دست می‌آوریم.

$$\begin{aligned} X_{n,i} &= r(t_{n,i}) + \tilde{F}_n(t_{n,i}) + \frac{h}{2} (K(t_{n,i}, t_n, X_{n-1,N}) + K(t_{n,i}, t_{n,i}, X_{n,i})) \\ &+ h \sum_{j=1}^{i-1} K(t_{n,i}, t_{n,j}, X_{n,j}), \quad i = 1, \dots, N. \end{aligned} \quad (8)$$

دستگاه معادلات (8) شامل  $N$  معادله با  $N$  مجھول  $X_{n,i}, i = 1, \dots, N$  است و برای حل آن از روش تکرار (9) استفاده می‌کنیم

$$\begin{aligned} X_{n,i}^{(m)} &= r(t_{n,i}) + \tilde{F}_n(t_{n,i}) + \frac{h}{2} (K(t_{n,i}, t_n, X_{n-1,N}) + K(t_{n,i}, t_{n,i}, X_{n,i}^{(m-1)})) \\ &+ h \sum_{j=1}^{i-1} K(t_{n,i}, t_{n,j}, X_{n,j}), \quad i = 1, \dots, N, m = 1, 2, \dots, \end{aligned} \quad (9)$$

که در آن  $X_{n,1}^{(0)} = X_{n-1,N}$ ،  $X_{n,i}^{(0)} = X_{n,i-1}$  و روند را تا جایی ادامه می‌دهیم که به ازای  $\epsilon > 0$  مفروض و به حد کافی کوچک  $|X_{n,i}^{(m)} - X_{n,i}^{(m-1)}| < \epsilon$  و به ازای چنین  $m$  ای قرار می‌دهیم. البته شرط توقف دیگری هم می‌توان قرار داد، مثلاً می‌توانیم روند را تا جایی ادامه دهیم که به ازای عددی طبیعی مانند  $n_1$  داشته باشیم  $n \leq n_1$ . جوابی که به وسیله (9) به دست می‌آید، جواب اولیه است که باید روش برون یابی برایش اعمال شود. در الگوریتم زیر این روش را به تعداد  $n_2$  بار اعمال کردیم.

## ۱. الگوریتم

مرحله ۱: اعداد طبیعی  $\varepsilon > 0, P(t), I_0(t), t \in [0, n_0], n_0, n_1, n_2, N$  و توابع برداری  $r(t) = (r_1(t), \dots, r_d(t))^T, K(t, \tau, X(\tau)) = (k_1(t, \tau, X(\tau)), \dots, k_d(t, \tau, X(\tau)))^T, t \in [0, n_0]$

را در نظر می‌گیریم (توضیح این که  $n_0$  برابر تعداد بازه‌های واحد است که الگوریتم بازه به بازه جواب را دنبال می‌کند تا نهایتاً جواب کلی را ارائه دهد.  $n_1$  برابر تعداد انجام مراحل ۳ است که برای توقف این مرحله می‌تواند به کار رود. برای انعطاف الگوریتم در مرحله ۳ از خطای مطلق برای شرط توقف استفاده کرده‌ایم. شرط توقف‌های دیگری هم می‌توان استفاده کرد. مثلاً از خطای نسبی برای شرط توقف می‌توان استفاده کرد. عدد  $n_2$  برابر با تعداد بروون یا یاهای مورد استفاده در مرحله ۴ و عدد  $d$  برابر با بعد دستگاه معادلات است. در هر بازه واحد  $N$  تقریب به دست می‌آید).

مرحله ۲: قرار بده  $X_0 = r(0)$  و  $P_j = \{(0, r_j(0))\}, j = 1, \dots, d$

مرحله ۳: در این مرحله رویه  $T(n, a, b, X)$  را تعریف می‌کنیم. این رویه جواب تقریبی معادله انتگرالی  $X(t) = r(t) + \int_a^t K(t, \tau, X(\tau)) d\tau$  با نقطه اولیه  $[X(a), X(a + nh)]$  را با استفاده از روش ذوزنقه‌ای مرکب بر می‌گرداند. یعنی خروجی تقریبی برای بردار  $X(a + nh)$  است. این رویه بدین صورت طراحی می‌شود:

گام ۱. یک محیط محلی با متغیر محلی  $V$  تعریف می‌کنیم.

گام ۲. قرار می‌دهیم  $V = [X, X, \dots, X]^T$  که در آن  $V$  یک بردار ستونی  $n+1$  تایی است. عضو  $i$  ام  $V$  را با  $V_i^{(0)} = X$  نمایش می‌دهیم. به علاوه قرار می‌دهیم  $m = 0$ .

گام ۳. قرار می‌دهیم

$$V_2^{(m+1)}$$

اگر  $V_2 = V_2^{(m+1)}$  نه یک واحد به  $m$  اضافه می‌کنیم و به ابتدای

گام ۴. بر می‌گردیم

گام ۴. قرار می‌دهیم  $V_{i+1}^{(0)} = V_i$  ،  $m = 0$

گام ۴-۱. قرار می‌دهیم:

$$V_{i+1}^{(m+1)} = r(a + ih) + h \sum_{j=1}^{i-1} K(a + ih, a + jh, V_{j+1}) + \frac{h}{2} \left\{ K(a + ih, a, X) + K(a + ih, a + ih, V_{i+1}^{(m)}) \right\}$$

اگر  $V_{i+1} = V_i^{(m+1)}$  نه یک واحد به  $m$  اضافه می‌کنیم و به ابتدای

گام ۴-۲ بر می‌گردیم.

اگر  $i \leq n$  یک واحد به  $i$  اضافه می‌کنیم و به گام ۴ می‌رویم.

گام ۵. بردار  $V$  را به عنوان خروجی  $T(n, a, b, X)$  ارائه می‌کنیم.

مرحله ۴.  $k = 1$

گام ۱. به ازای  $R(i, 0) = T(2^i N, k - 1, k, X_0)$  تا قرار می‌دهیم  $i = n_2 = 0$

$$\text{گام ۲.} \quad \rho = \frac{1}{1-4^{-j}} \quad \text{و به ازای } \mathbf{i} = n_2 - j \quad \text{تا } j = n_2 \quad \text{قرار می‌دهیم:}$$

$$R(i, j) = \rho R(i+1, j-1) + (1-\rho) R(i, j-1)$$

اگر  $n_2 < j$  یک واحد به  $j$  اضافه می‌کنیم و به گام ۲ می‌رویم.

گام ۳:  $X_0 = (R(0, n_2))_{N+1}$  یعنی  $(N+1)$  امین عنصر بردار  $R(\mathbf{0}, \mathbf{n}_2)$  را در  $X_0$  می‌گذاریم.

گام ۴. به ازای  $j = 1, \dots, d$  نقاط  $\left\{ \left( k - 1 + \frac{i}{N}, \left( R(0, n_2) \right)_{i+1} \right)_j \right\}$ ,  $i = 1, \dots, N$  را به مجموعه

نقاط  $P_j$  اضافه می‌کنیم.

گام ۵.

$$r(t) = r(t) + \frac{1}{2N} \sum_{i=0}^{N-1} \left( K \left( t, k-1 + \frac{i+1}{N}, \left( R(0, n_2) \right)_{i+2} \right) + K \left( t, k-1 + \frac{i}{N}, \left( R(0, n_2) \right)_{i+1} \right) \right)$$

اگر  $k < n_0$ , یک واحد به  $k$  اضافه می‌کنیم و به گام ۱ می‌رویم.

مرحله ۵. مجموعه نقاط  $P_j$ ,  $j = 1, \dots, d$  جواب شبکه‌ای  $x_j$  در نقاط شبکه‌ای  $n_0, \dots, n_d$  هستند.  $\mathbf{i} = \mathbf{0}, \dots, N$

## ۲. شرح الگوریتم

سه مرحله اول مربوط به روش انتگرال‌گیری ذوزنقه‌ای مرکب است، که قبلًاً شرح داده شده است. در این بخش به شرح روش برون‌یابی به سوی حد می‌پردازیم که در واقع همان مرحله ۴ است. شمارنده  $k$  در ابتدای مرحله ۴ برای تعداد بازه‌های به صورت  $[k-1, k]$  است. گام‌های ۱ تا ۴ الگوریتم رامبرگ را برای افزایش دقت محاسبات در بازه به کار می‌گیرند. این الگوریتم همان الگوریتم ۷.۱ از صفحه ۱۷۱ کتاب آنالیز عددی فیلیپس تیلر [۱۵] است، با این تفاوت که در اینجا همان ایده‌ها به صورت برداری توسعی یافته و بازه به بازه به هم وصل شده‌اند. چنان‌که در [۱۵] آمده، هر بار انجام الگوریتم مرتبه هم‌گرایی را ۲ واحد بالا می‌برد. با این حال پایداری و هم‌گرایی الگوریتم را به [۱۶] ارجاع می‌دهیم.

هر چند این الگوریتم با هر زبان برنامه‌نویسی، قابل برنامه‌نویسی است ولی با توجه به امکانات و توانائی‌های نرم‌افزار Mathematica به ویژه در محیط‌های محلی، برنامه‌ها با این نرم افزار نوشته شده است. مرحله ۴-۵، تابع سمت راست برای بازه بعدی را فراهم می‌کند. در واقع داده‌های بازه فعلی جمله پیشین برای بازه بعدی است. با وصل کردن نقاط موجود در مجموعه  $P_j$  در مرحله ۵ به هم‌دیگر، تابعی به دست می‌آید که برآورد تابع  $x_j$  در بازه  $[0, n_0]$  است.

## آماده‌سازی مدل برای حل عددی

در این بخش مدل (1.1) را به شکل معادله (2.1) می‌نویسیم تا برای حل عددی مهیا شود. برای این منظور  $S(t)$  را

به صورت  $S(t) = 1 - I(t) - R(t)$  می‌نویسیم تا بعد دستگاه معادلات برابر عدد ۲ شود. تعریف می‌کنیم:

$$r(t) = (r_1(t), r_2(t))^T, X(t) = (x_1(t), x_2(t))^T, K(t, \tau, X(\tau)) = (k_1(t, \tau, X(\tau)), k_2(t, \tau, X(\tau)))^T,$$

که در آن

$$r_1(t) = I_0(t)e^{-\mu t}, r_2(t) = \varphi + (R_0 + I_0(0) - I_0(t) - \varphi)e^{-\mu t},$$

$$x_1(t) = I(t), x_2(t) = R(t),$$

$$k_1(t, \tau, X(\tau)) = \beta(1 - x_1(\tau) - x_2(\tau))x_1(\tau)P(t-\tau)e^{-\mu(t-\tau)},$$

$$k_2(t, \tau, X(\tau)) = \beta(1 - x_1(\tau) - x_2(\tau))x_1(\tau)[1 - P(t-\tau)]e^{-\mu(t-\tau)} + \theta(1 - x_1(\tau) - x_2(\tau))e^{-\mu(t-\tau)}.$$

## نتایج عددی

### ۱. طراحی نمونه مسئله

حل تحلیلی مسئله با داده‌های بخش ۳، جز در موارد بسیار خاص ممکن نیست از این‌رو، حل عددی این گونه مسائل امری اجتناب‌ناپذیر است. در این قسمت یکی از این موارد خاص را بررسی می‌کنیم، تا بتوانیم نمونه مسائلی را برای مقایسه و تحلیل خطای طراحی کنیم. برای این منظور معادله (۲) برای این مدل را به صورت (۱۰) در نظر می‌گیریم:

$$(I-T)X(t) = r(t), \quad (10)$$

که در آن

$$T(X(t)) = \begin{bmatrix} T_1(X(t)) \\ T_2(X(t)) \end{bmatrix} = \int_0^t K(t, \tau, X(\tau))d\tau, \quad (11)$$

و کمیت‌های  $r, X, K$  مطابق بخش ۳ تعریف می‌شوند. با تعریف مذکور

$$T_2(X(t)) = \int_0^t (\beta x_1(\tau) + \theta)(1 - x_1(\tau) - x_2(\tau))e^{-\mu(t-\tau)}d\tau - T_1(X(t)). \quad (12)$$

دومین مؤلفه (۱۰) به صورت (۱۳) است

$$x_2(t) - \int_0^t (\beta x_1(\tau) + \theta)(1 - x_1(\tau) - x_2(\tau))e^{-\mu(t-\tau)}d\tau + T_1(X(t)) = r_2(t). \quad (13)$$

پس

$$T_1(X(t)) = r_2(t) - x_2(t) + \int_0^t (\beta x_1(\tau) + \theta)(1 - x_1(\tau) - x_2(\tau))e^{-\mu(t-\tau)}d\tau. \quad (14)$$

هم‌چنین مؤلفه اول (۱۰) نتیجه می‌دهد:

$$T_1(X(t)) = x_1(t) - r_1(t). \quad (15)$$

پس بنا به (۱۴) و (۱۵) داریم:

$$x_1(t) - r_1(t) = r_2(t) - x_2(t) + \int_0^t (\beta x_1(\tau) + \theta)(1 - x_1(\tau) - x_2(\tau))e^{-\mu(t-\tau)}d\tau. \quad (16)$$

از طرفین رابطه (۱۶) تبدیل لاپلاس می‌گیریم:

$$\frac{\beta}{s+\mu} Lx_1(1 - x_1 - x_2) = \left(1 + \frac{\theta}{s+\mu}\right)(X_1(s) + X_2(s)) - L(r_1 + r_2) - \frac{\theta}{s(s+\mu)}, \quad (17)$$

که در آن  $X_i(s) = L(x_i(t), t, s)$ ،  $i = 1, 2$  تبدیل لاپلاس تابع  $x_i(t)$  است که بر حسب متغیر  $s$  نمایش داده شده است. به ازای  $P(t) = e^{-\mu t}$  و با استفاده از قضیه پیچش در تبدیلات لاپلاس

$$LT_1(X(t)) = \left(\frac{s+\mu+\theta}{s+2\mu}\right)(X_1(s) + X_2(s)) - \left(\frac{s+\mu}{s+2\mu}\right)L(r_1 + r_2) - \frac{\theta}{s(s+2\mu)}. \quad (18)$$

هم‌چنین بنا به (۱۵) :

$$LT_1(X(t)) = X_1(s) - L(r_1). \quad (19)$$

از طرفی بنا به (۱۰) :

$$X_2(s) = L(r_2) + LT_2(X(t)). \quad (20)$$

با جایگذاری (۱۸) در رابطه مذکور و با توجه به (۱۲) داریم:

$$X_2(s) = \frac{F(s) - (\theta - \mu)X_1(s)}{s + \mu + \theta}, \quad (21)$$

که در آن

$$F(s) = -\mu Lr_1 + (s + \mu)Lr_2 + \frac{\theta}{s}. \quad (22)$$

معادله (۱۷) را به صورت (۲۳) بازنویسی می‌کنیم:

$$\begin{aligned} \beta Lx_1 x_2 &= (s + \mu + \theta)(X_1(s) + X_2(s)) - (s + \mu)L(r_1 + r_2) - \frac{\theta}{s} + \beta Lx_1(1 - x_1) \\ &= X_1(s)(\beta - 2\mu - s) - \beta Lx_1^2 + (s + 2\mu)Lr_1. \end{aligned} \quad (23)$$

در رابطه مذکور سطر دوم، از رابطه (۲۱) استفاده کرده‌ایم. برای به دست آوردن یک طیف از نمونه مسائل، تابع  $x_1$  را به صورت (۲۴) در نظر می‌گیریم

$$x_1(t) = x_0(t) + r_1(t). \quad (24)$$

$x_0$  را باید چنان به دست آوریم که (۲۳) در معادله  $X_1(s)(\beta - 2\mu - s)$  موجود باشد. از این‌رو، لازم است تابعی مانند  $F_0(s)$  چنان باشد که

$$X_0(s)(\beta - 2\mu - s) = F_0(s) = L(f_0(t)). \quad (25)$$

پس بنا به پیچش تبدیلات لاپلاس

$$X_0(s) = \frac{-F_0(s)}{(\beta - 2\mu - s)} = -F_0(s)L(e^{-(\beta - 2\mu)t}) = -L \int_0^t f_0(\tau) e^{-(\beta - 2\mu)(t-\tau)} d\tau.$$

از این‌رو،

$$x_0(t) = - \int_0^t f_0(\tau) e^{-(\beta - 2\mu)(t-\tau)} d\tau. \quad (26)$$

با جایگذاری (۲۳) در  $F_0(s)$  داریم:

$$\beta Lx_1 x_2 = F_0(s) - \beta Lx_1^2 + (s + 2\mu)Lr_1. \quad (27)$$

معادلات (۲۶) و (۲۷) اساس کار ما در پیدا کردن نمونه مسئله خواهند بود. بنا به معادلات بخش ۳

$$Lr_2(t) = L\{\varphi + (R_0 + I_0(0) - I_0(t) - \varphi)e^{-\mu t}\} = \frac{\varphi}{s} + \frac{R_0 + I_0(0) - \varphi}{s + \mu} - Lr_1(t). \quad (28)$$

با جایگذاری (۲۲) و (۲۸) در (۲۰) داریم:

$$\begin{aligned} X_2(s) &= -Lr_1 + L\{(R_0 + I_0(0))e^{-(\mu+\theta)t}\} + Le^{-(\mu+\theta)t}L\{\mu\varphi + \theta + (\mu - \theta)x_0\} \\ &= L\left\{-r_1 + (R_0 + I_0(0))e^{-(\mu+\theta)t} + \int_0^t [\mu\varphi + \theta + (\mu - \theta)x_0(\tau)] e^{-(\mu+\theta)(t-\tau)} d\tau\right\}. \end{aligned} \quad (29)$$

در رابطه (۲۹) تنها پارامتر مجھول عبارت است از  $\gamma = I_0(0)$ ، پس:

$$x_2(t) = -r_1 + f_1(t; \gamma), \quad (30)$$

که در آن

$$f_1(t; \gamma) = (R_0 + \gamma)e^{-(\mu+\theta)t} + \int_0^t [\mu\varphi + \theta + (\mu - \theta)x_0(\tau)]e^{-(\mu+\theta)(t-\tau)}d\tau. \quad (31)$$

با جای‌گذاری (۲۴) و (۳۰) در (۲۳) و محاسبه  $Lr_1$  داریم:

$$Lr_1(t) = L \left\{ \frac{f_0(t)/\beta - [x_0(t)]^2 - x_0(t)f_1(t; \gamma)}{f_1(t; \gamma) + x_0(t) - 1} \right\}. \quad (32)$$

با توجه به رابطه (۳۲) و  $r_1(t) = I_0(t)e^{-\mu t}$ , داریم:

$$\gamma = r_1(0) = \frac{f_0(0)/\beta - [x_0(0)]^2 - x_0(0)f_1(0; \gamma)}{f_1(0; \gamma) + x_0(0) - 1} = \frac{f_0(0)}{\beta(R_0 + \gamma - 1)}. \quad (33)$$

پس  $\gamma$  باید در معادله (۳۴) صدق کند:

$$\gamma^2 + (R_0 - 1)\gamma - \frac{f_0(0)}{\beta} = 0. \quad (34)$$

از این‌رو، باید درجه‌های آزادی  $R_0, \beta, f_0(0)$  را در نمونه مسئله‌ها چنان انتخاب کیم که معادله (۳۴) جوابی در بازه  $(0, 1)$  داشته باشد، زیرا  $\gamma = I_0(0)$  نسبت افراد جامعه است.

### مثال ۱: بهازای

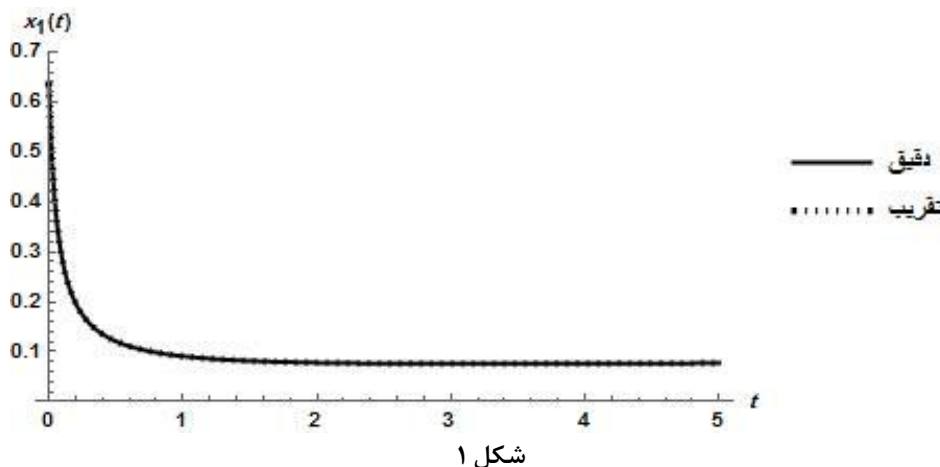
$$\mu = 1, \varphi = \frac{1}{2}, \theta = \frac{1}{3}, \beta = \frac{1}{2}, R_0 = \frac{1}{3}, P(t) = e^{-\mu t}, f_0(t) = -\frac{1}{100}, \gamma = \frac{1}{30}(10 + \sqrt{82})$$

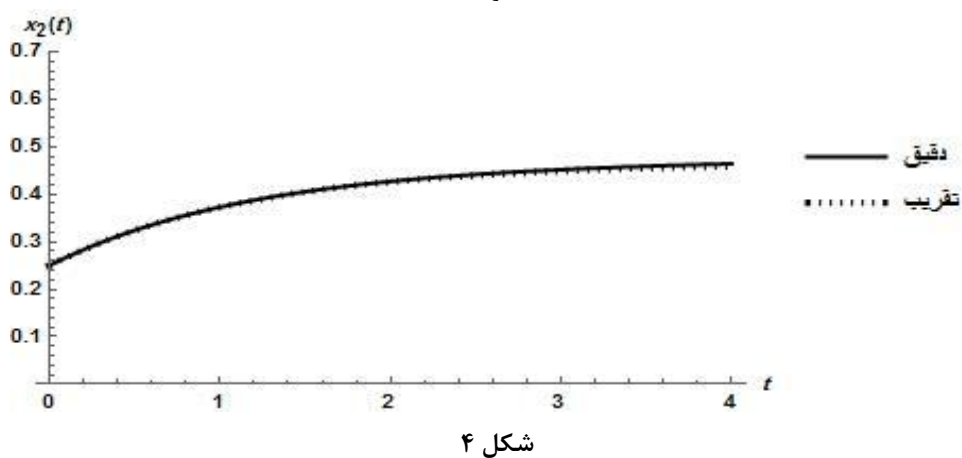
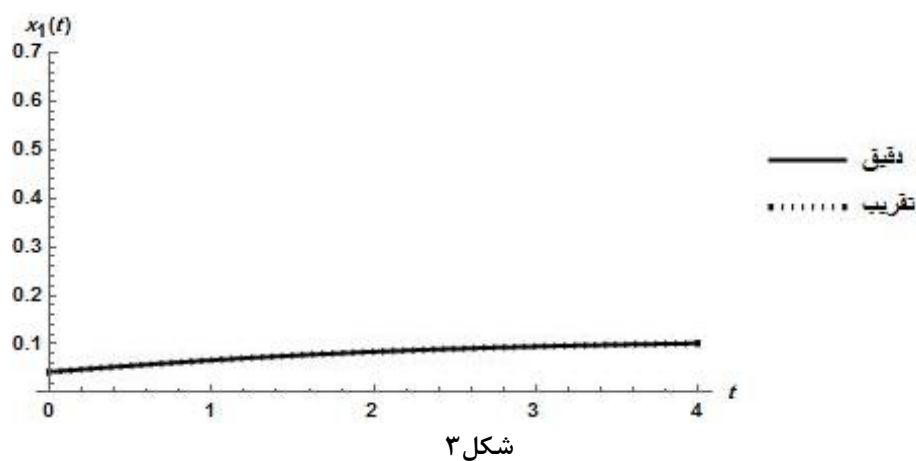
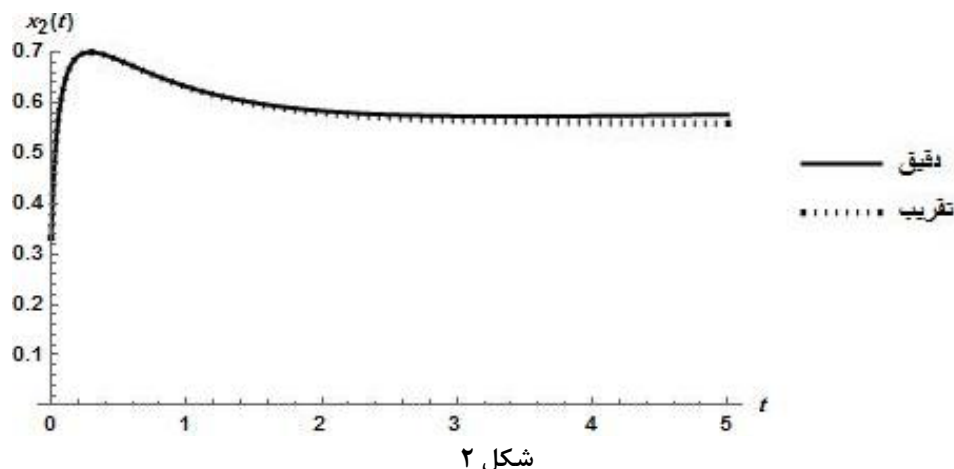
جواب‌های دقیق مدل از روابط (۲۴) و (۳۰) به دست می‌آیند. روش برون‌یابی با  $X_0 = r(0)$  را به کار برد و جواب‌های تقریبی را مطابق شکل‌های ۱ و ۲ به دست آورده‌یم. نمودار نقطه چین جواب عددی و نمودار پیوسته جواب تحلیلی را نشان می‌دهد. در این مثال  $n_0 = 5$ .

### مثال ۲: بهازای

$$\mu = \frac{1}{2}, \varphi = \frac{1}{3}, \theta = \frac{1}{4}, \beta = \frac{1}{3}, R_0 = \frac{1}{4}, P(t) = e^{-\mu t}, f_0(t) = -\frac{1}{100}, \gamma = \frac{1}{40}(15 - \sqrt{177})$$

جواب‌های دقیق مدل از روابط (۲۴) و (۳۰) به دست می‌آیند. روش برون‌یابی با  $X_0 = r(0)$  را به کار برد و جواب‌های تقریبی را مطابق شکل‌های ۳ و ۴ به دست آورده‌یم. نمودار نقطه چین جواب عددی و نمودار پیوسته جواب تحلیلی را نشان می‌دهد. در این مثال  $n_0 = 4$ .





### منابع

1. Hethcote H. W., Tudor D. W., "Integral equation models for endemic infectious diseases", J. Math. Biology, vol. 9 (1980) 37-47.
2. Miller I., Miller M., "John E. Freund's Mathematical Statistics with Applications", 8<sup>st</sup> ed., Pearson Education Limited, 2014.

3. Bailey N. J. T., "The mathematical theory of infectious diseases and its applications", Griffin, London (1975).
4. Niculescu S. I., Kim P. S., Gu K., Lee P. P. , Levy D., "Stability crossing boundaries of delay systems modeling immune dynamics in leukemia", Discrete and Continous Dynamic systems, serie B, vol. 10, no 1 (2010) 129-156.
5. Babayar-Razlighi B., Soltanalizadeh B., "Numerical solution for system of singular nonlinear volterra integro-differential equations by Newton-Product method", APPL. MATH. COMPUT, vol. 219 (2013) 8375-8383.
6. Babayar-Razlighi B., Soltanalizadeh B., "Numerical solution of nonlinear singular Volterra integral system by the Newton-Product integration method", MATH, COMPUT, MODEL, vol. 58 (2013) 1696-1703.
7. Babayar-Razlighi B., Ivaz, M. R. Mokhtarzadeh, "Convergence of product integration method applied for numerical solution of linear weakly singular Volterra systems", Bull. Iranian Math. Soc., vol. 37 (2011) 135-148.
8. Babayar-Razlighi B., Ivaz K., Mokhtarzadeh M. R., Badamchizadeh A. N., "Newton-Product integration for a two phase Stefan problem with kinetics", Bull. Iranian Math. Soc., vol. 38, no. 4 (2012) 853-868.
9. Babayar-Razlighi B., Ivaz K., Mokhtarzadeh M. R., "Newton-Product integration for a Stefan problem with kinetics", J. Sci. Islam. Repub. Iran, vol. 22, no. 1 (2011) 51-61.
10. Babayar-Razlighi B., Khadem M., "Numerical solution of a free boundary problem from heat transfer by Legendre Wavelets", Proc. Iranian Conference on Mathematical Physics, Qom, Iran (Nov 2016) 92-95.
11. Babayar-Razlighi B., "Numerical solution of a heat conduction problem by the Legendre Wavelets", Proc. The 22th Seminar on Mathematical Analysis and It's Applications, Bonab, Iran (Jan 2017) 319-322.
12. Brunner H., "Collocation Methods for Volterra Integral and Related Functional Equations", 1st ed., Cambridge University Press (2004).
13. Ordokhani Y., Razzaghi M. "Solution of nonlinear Volterra-Fredholm-Hammerstein integral equations via a collocation method and rationalized Haar functions", Appl. Math. Lett., vol. 21, no. 1 (2008) 4-9.
14. Ordokhani Y., "Solution of nonlinear Volterra-Fredholm Hammerstein integralequations via rationalized Haar functions", Appl. Math. Comput., vol. 180, no. 2 (2006) 436-443.
15. Phillips G.M.M., Taylor P.J., "Theory and applications of numerical analysis", in Applied Mathematics, 2<sup>st</sup> ed., Elsevier Science & Technology Books, 1996.
16. Tao L., Yong H., "Extrapolation method for solving weakly singular nonlinear Volterra integral equations of the second kind", J. Math. Anal. Appl, vol. 324, (2006) 225-237.